

# Sada příkladů do termodynamiky a statistické fyziky

prof. Igor Jex, Hynek Lavička, Jaroslav Novotný

June 8, 2006

## 1 Hustota pravděpodobnosti, fázový prostor, fázový objem

### Příklad 1.1

Uvažujme pohyb částice po jednorozměrné mřížce s mřížkovou konstantou  $a$  (vzdálenost dvou uzlů). Částice může během jednoho skoku přeskočit pouze na sousední uzel a to s pravděpodobností  $p$  doprava a s pravděpodobností  $q = 1 - p$  doleva. Předpokládejme, že se částice nachází na počátku pohybu v počátku a definujme pozorovatelnou polohu  $m = n_1 - n_2$ , kde  $n_1$  (resp.  $n_2$ ) je celkový počet skoků doprava (resp. doleva). Spočítejte střední hodnotu  $\overline{m}$ ,  $\overline{m^2}$ ,  $\overline{m^3}$  a  $\overline{m^4}$  po  $N$  skocích.

### Příklad 1.2

Dva opilci vycházejí ve stejný okamžik z hospody. Předpokládejme, že je jejich pohyb jednodimenzionální a oba dělají se stejnou pravděpodobností  $\frac{1}{2}$  krok doleva a doprava. Jaká je pravděpodobnost, že po  $N$  krocích budou na stejném místě? (Náročnější varianta: jak se změní výsledek, připustíme-li, že v každém kroku, může opilec zůstat stát na místě? To znamená s pravděpodobností  $\frac{1}{3}$  mohou v každém kroku jít doleva, doprava nebo zůstat stát.)

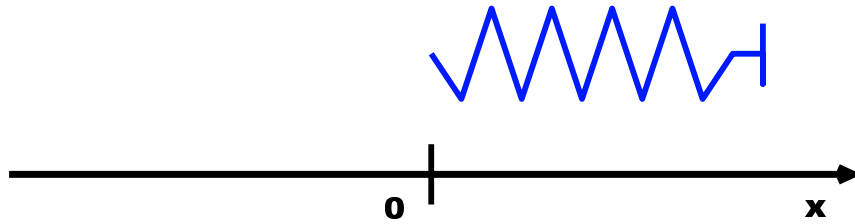
### Příklad 1.3

Částice se pohybuje po ose  $x$ , tak že každý její krok je co do velikosti náhodný z intervalu  $(1-b, 1+b)$  (kde  $0 \leq b \leq 1$ ). Najděte  $\overline{x}$  a  $\overline{(x - \bar{x})^2}$  pro  $N$  kroků.

### Příklad 1.4

Uvažujme klasický harmonický oscilátor s hmotou  $m$ , konstantou tuhosti  $k$ . Předpokládejme dále, že se pohybuje po ose  $x$  s rovnovážnou polohou v

počatku a s energií  $E$ . Vypočtěte hustotu pravděpodobnosti  $p(x)$  (  $p(x)dx$  je pravděpodobnost, že hmotu najdu v intervalu  $\langle x - \frac{dx}{2}, x + \frac{dx}{2} \rangle$ ).



### Příklad 1.5

- a) Spočtete objem jednotkové  $N$  rozmerné koule.
- b) Kolik z tohoto objemu tvoří slupka tlustá 1% poloměru pro  $N = 2, 10, 100, 1000$ .

### Příklad 1.6

Mějme  $N$  nezávislých klasických harmonických oscilátorů s hmotou  $m_i$  a úhlovou rychlostí  $\omega_i$ , kde  $i \in \hat{N}$ . Nechť jejich maximalní energie je  $E$ .

- a) Napište Hamiltonián takového systému.
- b) Vypočtete fázovy objem této soustavy.
- c) Prochazí-li systém při dynamickém vývoji svůj fázový prostor rovnoměrně (tj. je-li systém ergodický) a je-li  $N$  velké, co lze říci o časové střední hodnotě energie?

## 2 Termodynamika

### 2.1 Identity

#### Příklad 2.1

Dokažte platnost vztahu

$$\left( \frac{\partial p}{\partial T} \right)_S = \left( \frac{\partial p}{\partial T} \right)_V + \frac{c_V}{T} \left( \frac{\partial T}{\partial V} \right)_p$$

**Priklad 2.2**

Dokažte platnost vztahu

$$\left(\frac{\partial V}{\partial p}\right)_S = \left(\frac{\partial V}{\partial p}\right)_T + \frac{T}{c_p} \left(\frac{\partial V}{\partial T}\right)_p^2$$

**Priklad 2.3**

Dokažte platnost vztahu

$$\left(\frac{\partial T}{\partial V}\right)_S = \frac{c_p}{c_V} \left(\frac{\partial p}{\partial V}\right)_T \left(\frac{\partial T}{\partial p}\right)_S$$

**Priklad 2.4**

Dokažte platnost vztahu

$$\left(\frac{\partial p}{\partial V}\right)_S = \left(\frac{\partial p}{\partial V}\right)_T - \frac{T}{C_V} \left(\frac{\partial p}{\partial T}\right)^2$$

**Priklad 2.5**

Dokažte platnost vztahu

$$\left(\frac{\partial V}{\partial p}\right)_S = \left(\frac{C_V}{C_p}\right) \left(\frac{\partial V}{\partial p}\right)_T$$

**Priklad 2.6**

Dokažte platnost vztahu

$$C_p - C_V = - \left(\frac{\partial p}{\partial T}\right)_V \left[ p \left(\frac{\partial V}{\partial p}\right)_T + \left(\frac{\partial U}{\partial p}\right)_T \right]$$

**Priklad 2.7**

Dokažte platnost vztahu

$$\left(\frac{\partial H}{\partial p}\right)_T - V = \left(\frac{\partial U}{\partial p}\right)_T + p \left(\frac{\partial V}{\partial p}\right)_T$$

**Priklad 2.8**

Dokažte platnost vztahu

$$(C_p - C_V) \frac{\partial^2 T}{\partial p \partial V} + \left(\frac{\partial C_p}{\partial p}\right)_V \left(\frac{\partial T}{\partial V}\right)_p - \left(\frac{\partial C_V}{\partial V}\right)_p \left(\frac{\partial T}{\partial p}\right)_V = 1$$

**Priklad 2.9**

Dokažte platnosť vzťahu

$$c_V = T \left[ \left( \frac{\partial S}{\partial T} \right)_\mu - \frac{\left( \frac{\partial N}{\partial T} \right)_\mu^2}{\left( \frac{\partial N}{\partial \mu} \right)_T} \right]$$

**Priklad 2.10**

Dokažte platnosť vzťahu

$$\left( \frac{\partial p}{\partial T} \right)_S = \left( \frac{\partial p}{\partial T} \right)_V - \frac{C_V}{T} \frac{\left( \frac{\partial p}{\partial V} \right)_T}{\left( \frac{\partial p}{\partial T} \right)_V}$$

**Priklad 2.11**

Dokažte platnosť vzťahu

$$\left( \frac{\partial c_p}{\partial p} \right)_T = -T \left( \frac{\partial^2 V}{\partial T^2} \right)_p$$

**Priklad 2.12**

Dokažte platnosť vzťahu

$$c_p - c_V = \left[ V - \left( \frac{\partial H}{\partial p} \right)_T \right] \left( \frac{\partial p}{\partial T} \right)_V$$

**Priklad 2.13**

Dokažte platnosť vzťahu

$$\left( \frac{\partial H}{\partial p} \right)_T - V = -T \left( \frac{\partial V}{\partial T} \right)_p$$

**Priklad 2.14**

Dokažte platnosť vzťahu

$$\left( \frac{\partial F}{\partial V} \right)_T + p = S \left( \frac{\partial p}{\partial S} \right)_V$$

**Priklad 2.15**

Dokažte platnost vztahu

$$\left(\frac{\partial U}{\partial T}\right)_{V,\frac{\mu}{T}} - \left(\frac{\partial U}{\partial T}\right)_{V,N} = \left(\frac{\partial N}{\partial \mu}\right)_{T,V} \left(\frac{\partial U}{\partial N}\right)_{T,V} \frac{1}{T}$$

**Priklad 2.16**

Vyjádřte  $dU$  a  $dH$  ve formě

$$dU = c_V \frac{\kappa}{\alpha} dp + \left( \frac{c_p}{\alpha} - pV \right) \frac{dV}{V} \quad (1)$$

$$dH = \left( c_V \frac{\kappa}{\alpha} + V \right) dp + \frac{c_p dV}{\alpha V} \quad (2)$$

$$\kappa = - \left( \frac{\partial V}{\partial p} \right)_T \frac{1}{V} \alpha = \frac{1}{V} \left( \frac{\partial V}{\partial T} \right)_p \quad (3)$$

## 2.2 Děje s plynem

**Priklad 2.17**

Odvodíte rovnici adiabaty pro van der Waalsův plyn.

**Priklad 2.18**

Pro vnitřní energii platí,  $U(S, V, n) = a(S^2/V)e^{S/(nR)}$ , ( $a, R$  jsou kladné konstanty). Odvodíte následující veličiny:  $T(S, n, V)$ ,  $p(S, V, n)$ ,  $\mu(S, V, n)$ ,  $H(S, p, n)$ , adiabatickou stlačitelnost jako funkci  $S, V, n$  a  $S, p, n$ .

**Priklad 2.19**

Pro entropii platí  $S = a\sqrt{nU} \exp(bV/n)$  ( $a, b$  jsou konstanty). Vypočtěte  $p(T, V, n)$ ,  $S(T, V, n)$ ,  $C_{V,n}(T, V, n)$  a  $\beta_{V,n}(T, V, n)$  izochorický koeficient napětí.

**Priklad 2.20**

Stavová rovnice a tepelná kapacita soustavy je vyjádřena vztahy:

$$p = RT \left[ \frac{n}{V} + \left( \frac{n}{V} \right)^2 B(T) \right],$$

$$C_V = \frac{3}{2}nR - n^2 \frac{R}{V} \frac{d}{dT} \left[ T^2 \frac{d}{dT} B(T) \right].$$

Vypočítejte  $S(T, V)$ ,  $U(T, V)$ ,  $H(T, V)$ ,  $F(T, V)$  a  $\mu(T, V)$ .

**Priklad 2.21**

Máme van der Waalsův plyn ( $(p + a/V^2)(V - b) = RT$ ) a předpokládejme, že  $C_V$  je konstantní. Vypočtěte závislost  $U(T, V)$  a rovnici adiabaty v proměnných  $T, V$  a  $p, V$ . Jak se bude měnit teplota plynu při expanzi do vákua?

**Priklad 2.22**

Dokažte, že tepelná kapacita se dá vypočítat podle vzorce

$$C_V = \frac{N}{kT^2} \left[ \frac{Z''}{Z} - \left( \frac{Z'}{Z} \right)^2 \right],$$

kde  $Z'$  a  $Z''$  jsou derivace partiční funkce podle inverzní teploty  $\beta$  při konstantním objemu  $V$ .

**Priklad 2.23**

Stavová rovnice je zadána ve tvaru

$$pV = A(T) + B(T)p + C(T)p^2 + \dots$$

Najděte závislost tepelné kapacity  $C_p$  na teplotě  $T$  a tlaku  $p$ . Jaký je tvar této závislosti pro ideální plyn?

**Priklad 2.24**

Nalezněte rovnici adiabaty pro fotonový plyn (záření absolutně černého tělesa).

**Priklad 2.25**

Vnitřní energie systému je definována

$$u(s, v) = \frac{K}{\gamma - 1} \left( \frac{K}{v} \right)^{\gamma-1} \exp [(s/K - l - 1)(\gamma - 1) - 1] + u_0$$

a  $u_0, K, \gamma, l$  jsou konstanty. Nalezněte  $p(T, v), u(T, v), s(T, v), s(T, p), c_v(T, v), c_p(T, p), c_p/c_v, \mu(T, p)$ .

**Priklad 2.26**

Vypočtěte rozdíl  $c_p - c_V$  pro plyn vyhovující van der Waalsově stavové rovnici. Vyjádřete tento rozdíl pomocí  $p$  a  $T$  v případě zředěného plynu (zanedbejte vyšší mocniny  $1/V$ ).

**Priklad 2.27**

Může entropie definovaná vztahem

$$S = a(nVU - bV^3)^{\frac{1}{3}}$$

popisovat fyzikální systém ? ( $a, b$  jsou konstanty,  $n$  je látkové množství)

### Priklad 2.28

Nechť je entropie dána vztahem

$$U = a \frac{S^3}{nV}.$$

Vypočítejte, jako funkce  $T, V, n$  veličiny:  $p, c_p - c_V, (\frac{\partial V}{\partial T})_{p,n}/V, (\frac{\partial p}{\partial T})_{V,n}/p, -(\frac{\partial V}{\partial p})_{T,n}/V, \mu(T, p)$ .

### Priklad 2.29

Spočtěte vnitřní energii a entropii jednoho molu plynu řídícího se van der Waalsovou stavovou rovnicí, za předpokladu, že  $C$  je pouze funkci teploty.

### Priklad 2.30

Vnitřní energie  $U$  je jenom funkci teploty  $U = U(T)$ . Nalezněte všechny stavové rovnice, které jsou s touto vlastností slučitelné. Jak vypadá stavová rovnice pro systém s tepelnou kapacitou  $c_V = c_V(T)$  ?

### Priklad 2.31

Určete podmínu, kdy izoterma splývá s adiabatou.

### Priklad 2.32

Dvě stejná množství ideálního plynu s teplotou  $T$  a tlaky  $p_1$  a  $p_2$  jsou od sebe oddělena pěpázkou. Určete změnu entropie následkem smíšení obou plynů.

### Priklad 2.33

Dvě stejná množství ideálního plynu s teplotami  $T_1$  a  $T_2$  a tlakem  $p$  jsou od sebe oddělena pěpázkou. Určete změnu entropie následkem smíšení obou plynů.

### Priklad 2.34

Termodynamický systém má následující vlastnosti: při konstantní teplotě  $T_0$  je systém vykonaná práce daná vztahem (při změně objemu z  $V_0$  na  $V$ )

$$W = RT_0 \ln \frac{V}{V_0} \tag{4}$$

Entropie je definována vztahem

$$S = R \frac{V}{V_0} \left( \frac{T}{T_0} \right)^\alpha, \tag{5}$$

přičemž  $T_0, V_0$  a  $\alpha$  jsou konstanty. Vypočtete volnou energii  $F$ , nalezněte stavovou rovnici  $p = p(V, T)$  a tepelnou kapacitu  $c_V$ .

**Priklad 2.35**

Ideální plyn tvořený  $N$  molekulami se nachází v nekonečně vysokém cylindru o poloměru podstavy  $r$  v homogenním gravitačním poli. Vypočtěte kanonickou partiční sumu, volnou energii, vnitřní energii a tepelnou kapacitu.

**Priklad 2.36**

Pro termický systém platí

$$p = RT \left( \frac{n}{V} + \left( \frac{n}{V} \right)^2 B(T) \right) \quad (6)$$

$$C_V = \frac{3}{2}nR - C_1(V, T) \quad (7)$$

$$C_1(V, T) = n^2 \frac{R}{V} \frac{d}{dT} \left( T^2 \frac{d}{dT} B(T) \right) \quad (8)$$

- a) Ukažte, že přítomnost členu  $C_1(V, T)$  zaručuje kompatibilitu stavové rovnice a výrazu pro tepelnou kapacitu.
- b) Vypočtěte  $S(T, V)$  a  $U(T, V)$ .
- c) Vypočtěte  $H$ ,  $F$ ,  $\mu$  jako funkce  $T$  a  $V$ .

**Priklad 2.37**

Dokažte, že při velkých hustotách Van der Waalsova plynu existují dvě teploty inverze a nalezněte jejich závislost na tlaku.

**2.2.1 Magnetika****Priklad 2.38**

Při změně magnetizace  $\vec{M}$  o  $d\vec{M}$  vykoná systém práci  $dW = -\vec{H}d\vec{M}$ , kde  $\vec{H}$  je intenzita magnetického pole (Jde o práci, kterou vykoná jednotkový objem;  $V = 1$ ). Určete rozdíl kapacit  $C_{\vec{H}} - C_{\vec{M}}$  při konstantním poli  $\vec{H}$  a při konstantní magnetizaci. Předpokládejte také, že  $\vec{H}$  a  $\vec{M}$  jsou paralelní (izotropní paramagnetika, feromagnetika) pro něž platí

$$dQ = dU + dW = dU - \vec{H}d\vec{M} \quad (9)$$

**Priklad 2.39**

Určete rovnici adiabaty izotropního magnetika.

### Příklad 2.40

Určete vztah mezi izotermickou a adiabatickou susceptibilitou  $\chi_T$ , resp.  $\chi_S$ , které jsou definovány

$$\chi_T = \left( \frac{\partial M}{\partial H} \right)_T, \chi_S = \left( \frac{\partial M}{\partial H} \right)_S \quad (10)$$

### Příklad 2.41

Uvažujte ideální paramagnetický plyn v homogenním magnetickém poli se stavovou rovnicí  $V = nRT$  a  $\vec{H} = \frac{T\vec{M}}{nD}$  ( $H$  je hodnota magnetického pole,  $n$  počet molů,  $M$  je magnetizace celého objemu  $V$ ). Tepelná kapacita při konstantním objemu a magnetizaci je  $C_{V,\vec{M}} = 3nR/2$ . Přírůstek vnitřní energie má tvar

$$dU = TdS - pdV + \vec{H}d\vec{M} + \mu dn \quad (11)$$

Vypočtěte  $S(T, V, \vec{M})$ ,  $U(T, V, \vec{M})$ , tepelnou kapacitu  $C_{p,\vec{M}}$ ,  $C_{p,\vec{H}}$  a  $C_{V,\vec{H}}$ .

## 2.2.2 Dielektrika

### Příklad 2.42

Při změně indukce  $\vec{D}$  o  $d\vec{D}$  vykoná systém práci  $dW = -\frac{1}{4\pi}\vec{E}d\vec{D}$ , kde  $\vec{E}$  je intenzita elektrického pole (Jde o práci, kterou vykoná jednotkový objem;  $V = 1$ ). Určete rozdíl kapacit  $C_{\vec{E}} - C_{\vec{D}}$  při konstantním poli  $\vec{E}$  a při konstantní indukci  $\vec{D}$ . Předpokládejte také, že  $\vec{E}$  a  $\vec{D}$  jsou paralelní (izotropní dielektrika) pro něž platí

$$dQ = dU + dW = dU - \frac{1}{4\pi}\vec{E}d\vec{D} \quad (12)$$

## 2.2.3 Maximální práce

### Příklad 2.43

Určete maximální práci, kterou můžeme získat při sloučení dvou stejných množství téhož ideálního plynu se stejnou teplotou  $T_0$ .

### Příklad 2.44

Určete maximální práci, kterou můžeme získat ze dvou stejných množství tuhé látky, mající různé teploty  $T_1$  a  $T_2$ . Objem se nemění volná energie látky je dána vztahem

$$F = N\varepsilon_0 - NcT \ln T + Nc \ln(\hbar\omega). \quad (13)$$

Tepelná kapacita je  $c$ , počet částic  $N$  a  $\varepsilon_0$ ,  $\hbar$  a  $\omega$  jsou konstanty.

#### Příklad 2.45

Máme dvě stejná množství téže látky o teplotách  $T_1$  a  $T_2$  ( $T_1 > T_2$ ), pro jejíž tepelnou kapacitu platí  $C_V = \lambda nV\sqrt{T}$ . Určete maximální a minimální možnou teplotu  $T_s$ , kterou můžeme mít systém po sloučení těchto dvou látek a maximální práci, kterou tímto můžeme získat.

#### 2.2.4 Fázové přechody

#### Příklad 2.46

Určete teplotní změnu specifického objemu ideálního plynu podél křivky fázové rovnováhy kapalina-plyn.

#### Příklad 2.47

Soustava voda-pára při konstantním tlaku  $p$  obsahuje v plynné fázi malou příměs vzduchu s koncentrací  $\ll 1$ . O kolik se posune teplota varu vody? (Je dáná teplota varu  $T_0$  pro nulovou koncentraci vzduchu a skupenské teplovaru  $l_{12}$ )

#### Příklad 2.48

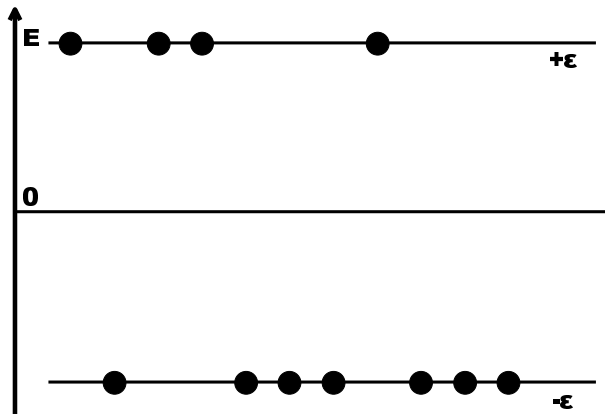
Nalezněte závislost tepelné kapacity a roztažnosti (změna objemu na teplotě) pro páru, která je v rovnováze s kapalinou. Uveďte předpoklady, které jste použili.

## 3 Statistické systémy

### 3.1 Mikrokanonický systém

#### Příklad 3.1

Mějme systém  $N$  rozlišitelných částic. Každá z částic se může nacházet v jednom z energetických stavů  $\pm \epsilon_0$ . Najděte termodynamickou váhu (počet realizací) makroskopického stavu  $W_M$  s energií  $E = M\epsilon_0$ . Definujte teplotu a najděte počet částic s energií  $\pm \epsilon_0$  a tepelnou kapacitu  $C$ . Nakreslete nalezené závislosti.



### Priklad 3.2

Mějme dobře známý balíček 32 karet. Předpokládejme, že známe pořadí karet v balíčku. Nyní balíček zamícháme. Jak se změní entropie balíčku karet?

### Priklad 3.3

Uvažujme fyzikální systém složený z  $n$  nezávislých fyzikální pod systému, každý s konečnou množinou stavu o velikosti  $N$ . Jaká je maximální entropie tohoto systému?

### Priklad 3.4

Je dán systém  $N$  ( $N \gg 0$ ) částic. Každá částice se může vyskytovat ve dvou možných energetických stavech s energií  $\epsilon_1$  a  $\epsilon_2$ , kde ( $\epsilon_1 > \epsilon_2$ ). Předpokládejme dále, že systém částic je obklopen tepelným rezervoátem s konstantní teplotou  $T$ . Nechť každá částice může při interakci s rezervoárem přeskakovat z jedné energetické hladiny na druhou.

- Najděte počet realizací stavu s celkovou energií  $E$ .
- Vyjádřete entropii systému jako funkci energie  $E$ .
- Určete měrné teplo systému.
- Spočítejte na jaké hodnotě se ustalí poměr  $\frac{n_1}{n_2}$  částic v termodynamické rovnováze. ( $n_1$ , resp.  $n_2$  je počet částic na energetické hladině  $\epsilon_1$  (resp.  $\epsilon_2$ )). Srovnajte s výsledkem ziskaným na základě kanonického souboru.
- Diskutujte co rozhoduje o tom, které hladiny budou více obsazovány.
- Zobecňte úlohu pro obecné  $d$  různých energetických hladin.

## 3.2 Kanonický systém

### Priklad 3.5

Dokažte, že fluktuace (střední kvadratická odchylka) vnitřní energie  $U$  kanonického souboru jsou vyjádřeny vztahem

$$(\Delta U)^2 \equiv \overline{(U_\nu - U)^2} = kT^2 C_V,$$

kde  $\overline{U_\nu} = U$ . Spočtěte relativní fluktuace  $\delta$  pro jeden mol ideálního plynu s třemi stupni volnosti  $\delta = \sqrt{(\Delta U)^2}/U$ .

### Priklad 3.6

Soustava se může být v energetických stavech definovaných vztahem  $E_{m,n} = E_{00} + 2\omega_1 n + 3\omega_2 m$  ( $m, n \in Z_0$ ). Vypočtěte stavovou sumu  $Z$ , entropii  $S$ , vnitřní energii  $U$  a  $c_V$ . Použijte kanonický soubor.

### Priklad 3.7

Pro ideální, relativistický bozonovský plyn platí

$$N = \frac{A}{k} T^3 V g_3(\alpha) \quad , \quad S = AV[4T^3 g_4(\alpha) - \frac{\mu}{k} T^2 g_3(\alpha)]$$

a dále  $\alpha = \mu/(kT)$ ,  $A = 8\pi k^4/(h^3 c^3)$ . Funkce  $g_n$  je definována

$$g_n(\alpha) = \frac{1}{(n-1)!} \int_0^\infty \frac{x^{n-1} dx}{e^{x-\alpha} - 1} \quad , \quad \frac{d g_{n+1}(\alpha)}{d\alpha} = g_n(\alpha).$$

Vypočítejte tepelnou kapacitu  $c_{V,N}(T, V, \mu)$  a vypočtěte hodnotu pro  $\alpha \rightarrow -\infty$  (pro  $\alpha \rightarrow -\infty$  je  $g_n(\alpha) \approx e^\alpha$ ).

### Priklad 3.8

Mějme soustavu  $N$  rozlišitelných částic. Každá částice může být ve stavu s energií  $E_0$ ,  $2E_0$  nebo  $4E_0$ . Najděte nejpravděpodobnejší rozdělení, střední energii  $U$ , entropii  $S$  a  $C_{V,N}$ . Určete tvar nejpravděpodobnějšího rozdělení pro  $T \rightarrow \infty$ .

### Priklad 3.9

Pro ideální ultrarelativistický plyn ( $\epsilon = pc$ ,  $p$  je hybnost částice a  $c$  je rychlosť světla) vypočtěte  $F(T, V, N)$ ,  $S(T, p, N)$ ,  $U(T, V, N)$ ,  $H(T, p, N)$ ,  $c_{V,N}$ ,  $c_{p,N}$  a stavovou rovnici.

### Priklad 3.10

Dokažte, že pro vnitřní energii  $U$  kanonického souboru platí

$$(\Delta U)^3 \equiv \overline{(U_\nu - U)^3} = k^2 \left\{ T^4 \left( \frac{\partial C_V}{\partial T} \right)_V + 2T^3 C_V \right\},$$

kde  $\overline{U_\nu} = U$ . Vypočtěte poměr  $\delta$  pro jeden mol ideálního plynu s třemi stupni volnosti  $\delta = (\Delta U)^3/U^3$ . Pomoc: čemu je rovna derivace  $-\frac{\partial}{\partial \beta} \overline{(U_\nu - U)^2}$ ?

### Priklad 3.11

Dokažte

$$\overline{\Delta U^2} = -k \left( \frac{\partial U}{\partial \frac{1}{T}} \right)_{\frac{p}{T}} = kT \left( TC_V - \left( \frac{\partial U}{\partial V} \right)_T \left( \frac{\partial V}{\partial P} \right)_T \right) \quad (14)$$

### Priklad 3.12

Pro Gibbsův potenciál platí  $G = -kT \ln \mathcal{Z}$  a  $\mathcal{Z} = \int_0^\infty \exp(-\gamma V) Z dV$ ,  $\gamma = p/(kT)$ . Partiční funkce je definována jako

$$Z(\beta, V, N) = \frac{1}{N!} \left[ \frac{V}{h^3} \int_0^\infty \exp(-\epsilon \beta) d^3 \tilde{p} \right]^N,$$

$\epsilon = \tilde{p}c$ , kde  $c$  je konstanta a  $\gamma^{-N-1} \approx \gamma^{-N}$ . Vypočítejte  $G(T, p, N)$ , stavovou rovnici,  $S(T, p, N)$ ,  $\mu(T, p)$  a  $\kappa_{S,N} = -\frac{1}{V} \left( \frac{\partial V}{\partial p} \right)_{S,N}$ .

### Priklad 3.13

Pro Gibbsův potenciál platí  $G = -kT \ln \mathcal{Z}$  a  $\mathcal{Z} = \int_0^\infty \exp(-\gamma V) Z(\beta, V, N) dV$ ,  $\gamma = p/(kT)$ . Partiční funkce je definována jako

$$Z(\beta, V, N) = \frac{1}{h^{3N} N!} \int \exp(-\beta U) d\tilde{p}_1 \dots d\tilde{p}_{3N} dq_1 \dots dq_{3N},$$

$U = \sum_{i=1}^{3N} \frac{\tilde{p}_i^2}{2m}$  a předpokládáme  $\gamma^{-N-1} \approx \gamma^{-N}$ . Vypočtěte  $G(T, p, N)$ , stavovou rovnici,  $S(T, p, N)$ ,  $\mu(T, p)$  a  $U(T, p, N)$ .

### Priklad 3.14

Stavová funkce je dána výrazem

$$pV = A(T) + B(T)p + C(T)p^2 + \dots$$

Nalezněte závislost tepelné kapacity  $C_p$  na teplotě  $T$  a tlaku  $p$ . Jaký je tvar této závislosti pro ideální plyn?

### Priklad 3.15

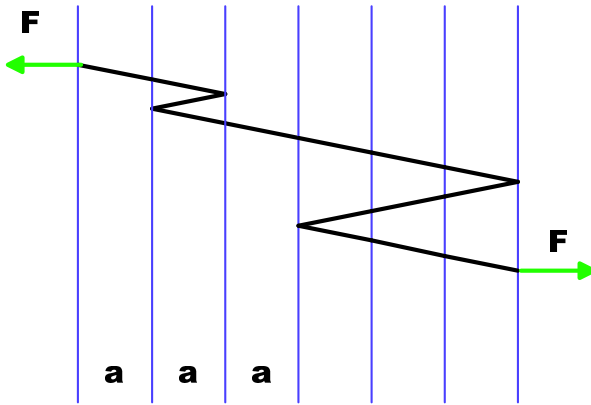
Stavová funkce je dána výrazem

$$pV = A(T) + B(T)p + C(T)p^2 + \dots$$

Nalezněte vztahy pro Gibbsův potenciál  $G(T, p)$ , entalpii  $H(T, p)$  a entropii  $S(T, p)$ .

### Příklad 3.16

Mějme jednorozměrný řetízek tvořený  $n$  elementy o délce  $a$ . Tyto elementy mohou být orientovány vlevo nebo vpravo. Střední délka řetízku  $x$  je dána součinem elementární délky  $a$  a rozdílu počtu orientací vlevo a vpravo. Nalezněte výraz pro entropii tohoto řetízku jako funkci  $x$  a nalezněte vztah mezi sílou udržující tuto délku (konjugovaná veličina k střední délce  $x$ ) a  $T$ . Předpokládejte, že počet elementů  $n$  je veliké číslo.



### Příklad 3.17

Pro soubor s následujícími podmínkami

$$\bar{U} = \sum w_j U_j \quad ; \quad V = \sum w_j V_j \quad ; \quad 1 = \sum w_j$$

, kde  $w_j$  jsou pravděpodobnost jevu  $j$  s energií  $U_j$  a objemem  $V_j$ , nalezněte:

- a) vyjádření pro stavovou (partiční) sumu  $\tilde{Z}$
- b) vyjádření entropie  $S$  pomocí  $\tilde{Z}$
- c) určete  $\tilde{Z} = f(T, p, N)$
- d) určete  $G = g[\tilde{Z}(T, p, N)]$

### Příklad 3.18

Platí

$$w_j = \frac{\exp(-E_j/kT)}{\sum_j \exp(-E_j/kT)},$$

kde  $E_j$  je energie mikrostavu. Nalezněte:

- a) střední energii  $\bar{U}$  jako funkci  $Z$  (partiční suma)

- b)  $\overline{(U - \bar{U})^2}$  jako funkci  $Z$   
c) dokažte  $\overline{(U - \bar{U})^2} = kT^2 \frac{\partial \bar{U}}{\partial T}$

### Priklad 3.19

Pro partiční funkci  $Z$  souboru  $N$  částic platí

$$Z = (\omega_0 + \omega_1 \exp(-\epsilon/kT))^N$$

( $\omega_0, \omega_1, \epsilon$  jsou konstanty). Vypočítejte vnitřní energii  $U$  a tepelnou kapacitu  $C_V$ . Nalezněte limity  $C_V$  pro případ  $\epsilon/kT \ll 1$  a  $\epsilon/kT \gg 1$ .

### Priklad 3.20

Je dá n systém dvou identických částic, které mohou být v některém ze tří stavů určených energiami  $\epsilon_n = n\epsilon, n = 0, 1, 2$ . Pričemž nejnižší energetický stav  $\epsilon_0 = 0$  je dvojná sobně degenerován. Systém je v tepelné rovnováze při teplotě  $T$ . Pro každý z následujících případů určete partiční funkci, energii a najděte počet různých konfigurací:

- a) Fermiho statistika  
b) Boseho statistika  
c) Boltzmannova statistika

### Priklad 3.21

Ideální plyn  $N$  klasických částic s hmotou  $m$  v tepelné rovnováze s okolím je uzavřen v nekonečně dlouhé valcové nádobě umístěné v homogenním gravitačním poli.

- a) Vypočtěte klasickou partiční sumu a najděte volnou energii.  
b) Vypočtěte entropii, vnitřní energii a měrné teplo.

### Priklad 3.22

Uvažujte polymer, který si lze představit jako řetízek  $N$  úseček délky  $a$ , navzájem pospojovaných přes koncové body. Abychom se vyhnuli interpretačním diskuzím, přímo předpokládejte, že na něj působí vnější síla  $\vec{F}$  interakčním hamiltonianem  $H = -\vec{F} \sum_{i=1}^N \vec{l}_i$ , kde  $\vec{l}_i$  je vektor představující i-tý konstituent. Úlohu řešte ve třech dimenzích.

- a) Vypočtěte partiční sumu a střední délku polymeru.

- b) Uvažujte malou sílu  $\vec{F}$ . Jaký je Youngův modul pružnosti polymeru a jak zavisí na teplotě?

### Priklad 3.23

Kmity dvouatomové molekuly jsou pro dostatečně velké amplitudy anharmonické. V tomto případě možno energii jednotlivých hladin výrazem

$$\varepsilon_n = \left(n + \frac{1}{2}\right) \hbar\omega - x_e \left(n + \frac{1}{2}\right)^2 \hbar\omega, \quad (15)$$

kde  $n \geq 0$  a  $x_e$  je parametr charakterizující anharmonicitu. Nalezněte příspěvek anharmonicity na tepelnou kapacitu plynu v prvním řádu parametru  $x_e$ .

### Priklad 3.24

Pro ideální bosonovský plyn platí

$$N = \frac{a_1}{k} T^3 V g_3(\alpha), a_1 = \frac{8\pi k^4}{\hbar^3 c^3} \quad (16)$$

$$S = a_1 V \left(4T^3 g_4(\alpha) - \frac{\mu}{k} T^2 g_3(\alpha)\right), \alpha = \frac{\mu}{kT} \leq 0 \quad (17)$$

$$g_n(\alpha) = \frac{1}{(n-1)!} \int_0^\infty \frac{x^{n-1} dx}{\exp(x-\alpha)-1}, \frac{dg_{n+1}(\alpha)}{d\alpha} = g_n(\alpha) \quad (18)$$

Vypočtete tepelnou kapacitu  $C_{V,N}(T, V, \mu)$  a nalezněte limitu kapacity pro  $\alpha \rightarrow -\infty$ .

### Priklad 3.25

Nalezněte rozdělení pravěpodobnosti úhlové rychlosti, čtverce úhlové rychlosti a momentu hybnosti systému molekul tvořených atomy při teplotě  $T$ .

### Priklad 3.26

Dokažte vztah

$$\overline{\Delta T^2} = \frac{T^2}{C_V} \quad (19)$$

Při odvození použijte podmínkustability a vlastnosti Gaussova rozdělení.

### Priklad 3.27

Krystal je tvořen  $N$  atomy a obsahuje  $N'$  defektů. Na přemístění jednoho atomu z krystalické pozice na pozici defektu je třeba energie  $\omega$ . Za předpokladu  $\omega \gg kT$  dokažte, že střední počet obsazených defektů  $n$  jze vyjádřit

$$n \approx \sqrt{NN'} \exp\left(-\frac{\omega}{kT}\right) \quad (20)$$

Předpokládejte  $N \approx N'$ .

### **Priklad 3.28**

Vyjádřete následující fluktuace pomocí stavové rovnice

$$\overline{\Delta U \Delta V} = -k \left( \frac{\partial U}{\partial \frac{p}{T}} \right)_{\frac{1}{T}} \quad (21)$$

### **Priklad 3.29**

Částice mají kromě translačního stupně volnosti i vnitřní, které se dají modelovat pomocí dvou hladin s energiemi  $\epsilon_0 = 0$  a  $\epsilon_1 = \varepsilon$ . Nalezněte příspěvek k tepelné kapacitě plynu vzhledem k existenci tohoto dodatečného stupně volnosti a podmínku, při které je tepelná kapacita maximální. Jaká je hodnota  $c_V$  při  $T \rightarrow 0$  a  $T \rightarrow +\infty$ . Existuje jednoduché vysvětlení nalezeného chování.

### **Priklad 3.30**

Nalezněte výraz pro fluktuace energie harmonického oscilátoru a souboru  $N$  takových oscilátorů. (Hledáme  $\overline{\Delta U^2}$  resp.  $\frac{\Delta U^2}{U^2}$  pro oba případy).

### **Priklad 3.31**

Mějme plyn tvořen neinteragujícími dvouatomovými molekulami. Pro dostatečně vysoké teploty vypočtěte kanonickou partiční sumu. Předpokládejte, že můžete rotační příspěvek k sumě zanedbat. Za tohoto předpokladu vypočtěte dále entropii, tepelnou kapacitu a stavovou rovnici plynu.

### **Priklad 3.32**

Dokažte, že pomocí partiční funkce  $Z$  je možno zapsat tepelnou kapacitu  $C_V$  systému ve tvaru

$$C_V = \frac{Nk}{T^2} \left[ \frac{Z''}{Z} - \left( \frac{Z'}{Z} \right)^2 \right],$$

$Z' = \partial Z / \partial (1/T)$  a  $Z'' = \partial^2 Z / \partial (1/Z)^2$  jsou derivace podle inverzní teploty.

### **Priklad 3.33**

Mějme plyn tvořen  $N$  ideálními dvouatomovými molekulami. Předpokládejme, že vibrace atomu v molekule můžeme reprezentovat jako oscilace kvantového harmonického oscilátoru s frekvencí  $\nu$  (energie mikrostavu je  $E_n = h\nu(n + 1/2)$ ). Pomocí korigované statistiky vypočtěte volnou energii, entropii, tepelnou kapacitu a stavovou rovnici tohoto plynu pro vysoké teploty. Rotaci molekuly ignorujte.

### 3.3 Grandkanonický systém

#### Priklad 3.34

Odvodte pro Fermi-Dirac statistiku výraz pro entropii jako funkci středního počtu částic  $N_i$  na hladině  $\epsilon_i$ . Vyjděte z grandkanonické partiční sumy

$$Z_G = \prod_i [1 + \exp((\mu - \epsilon_i)/(kT))]$$

Určete dále  $N(T, V, \mu)$  pomocí  $Z_G(\epsilon_i)$

#### Priklad 3.35

Pro bosonovský plyn je grandkanonická suma definována ( $\epsilon_i$  je energie  $i$ -té hladiny)

$$\mathcal{Z} = \prod_i \left[ 1 - \exp \frac{\mu - \epsilon_i}{kT} \right]^{-1}.$$

Najděte vyjádření entropie pomocí středního počtu částic  $n_i$  na hladině  $i$ .

Určete střední počet částic  $N$  a vnitřní energii pomocí  $\mathcal{Z}$  a  $\epsilon_i$ .

#### Priklad 3.36

Najděte disperzi počtu částic nacházejících se na energetické hladině  $\epsilon$  pro Fermi-Dirac a Bose-Einstein statistiku t.j. nalezněte  $(N - \overline{N})^2$ .

#### Priklad 3.37

Pro ideální Fermi-Dirakovský plyn platí:

$$\log Z = \alpha N + \sum_i \log(1 + e^{-(\alpha + \beta \epsilon_i)}),$$

$$\overline{n_i} = \frac{1}{1 + e^{\alpha + \beta \epsilon_i}}, \quad N = \sum_i \overline{n_i},$$

kde  $N$  je střední počet částic. Vyjádřete entropii  $S$  plynu pomocí  $\overline{n_i}$ . Nalezněte vyjádření pro  $S$  v případě  $\overline{n_i} \ll 1$ .

### 3.4 Rovnováha systémů

#### Priklad 3.38

Mějme chemickou reakci



kde  $A$ ,  $B$  jsou ideální plyny a  $E$  je energie reakce. Spočítejte poměr  $r = \frac{n_A}{n_B}$ , kde  $n_A$  a  $n_B$  jsou objemové hustoty plynů.

#### Priklad 3.39

Spočítejte závislost obsazení jednohladinového systému stěny v rovnováze s ideálním plynem na tlaku plynu  $p$  a teploty  $T$ , viz obrázek:

